

تعیین محل نصب و ظرفیت منابع انرژی پراکنده جهت برنامه‌ریزی بهینه ریزشبهه با در نظرگیری عدم قطعیت

امین فروغی نعمت‌اللهی^۱، دانشجوی دکتری، حامد نفیسی^۲، استادیار، بهروز وحیدی^۳، استاد و سیدامیر حسینی^۴، استادیار

۱- دانشکده مهندسی برق- دانشگاه صنعتی امیرکبیر - تهران - ایران
amin.forooghi@aut.ac.ir

۲- دانشکده مهندسی برق- دانشگاه صنعتی امیرکبیر - تهران - ایران
nafisi@aut.ac.ir

۳- دانشکده مهندسی برق- دانشگاه صنعتی امیرکبیر - تهران - ایران
vahidi@aut.ac.ir

۴- گروه مهندسی برق- دانشکده فنی و مهندسی گلپایگان - اصفهان - ایران
hosseini.amir@gut.ac.ir

چکیده: در این مقاله یک ریزشبهه شامل پنل خورشیدی، سیستم ذخیره‌ساز انرژی الکتریکی و یک دیزل ژنراتور به‌عنوان منبع پشتیبان به‌صورت بهینه طراحی و مکان‌یابی می‌شود. ریزشبهه موردبحث قسمتی از یک شبکه توزیع است که می‌تواند به‌عنوان یک محله تلقی شود. هدف ابتدایی طراحی این ریزشبهه، تأمین بار بدون دریافت توان از شبکه بالادست است. به‌عبارت‌دیگر تمام توان بار این شبکه کوچک باید از طریق منابع موجود و سیستم ذخیره‌ساز تأمین گردد. اما چنانچه اضافه تولید وجود داشته باشد، این توان می‌تواند به شبکه فروخته شود. بنابراین هدف اصلی طراحی ریزشبهه تأمین بار آن توسط منابع موجود با حداقل کردن هزینه این منابع می‌باشد. نظر به اینکه اضافه‌تولید ریزشبهه موردنظر به شبکه فروخته می‌شود. بنابراین مسئله موردنظر در این مقاله طراحی بهینه و جایابی بهینه هم‌زمان ریزشبهه در یک شبکه توزیع به‌منظور کاهش هزینه تأمین توان ریزشبهه و کاهش تلفات شبکه توزیع می‌باشد. برای حل بهینه‌سازی موردنظر از روش LAPO و ABC استفاده شده است و نتایج آن‌ها مقایسه می‌شود. نتایج برتری روش LAPO نسبت به روش ABC را چه از لحاظ سرعت همگرایی و رسیدن به جواب بهینه و چه از لحاظ دقت در یافتن بهترین نتیجه نشان می‌دهد.

واژه‌های کلیدی: ریزشبهه، بهینه‌سازی، LAPO، پنل خورشیدی، عدم قطعیت

تاریخ ارسال مقاله : ۱۳۹۸/۲/۲۴

تاریخ پذیرش مقاله : ۱۳۹۸/۴/۲۳

نام نویسنده ی مسئول: حامد نفیسی

نشانی نویسنده‌ی مسئول : دانشکده مهندسی برق- دانشگاه صنعتی امیرکبیر

۱- مقدمه

ایرادی که به این کار می‌توان گرفت در نظر گرفتن محل ثابت برای نصب سیستم است و در آن مکان نصب بهینه نشده است. در صورتی که با تغییر محل نصب اندازه‌های تعیین شده دیگر بهینه نیستند. تحقیق دیگری نیز در زمینه طراحی سیستم‌های هیبرید انرژی در مقاله [۱۶] انجام شده است. نقاط ضعف این تحقیق عدم در نظرگیری هم‌زمان اندازه، محل نصب و عملکرد بهینه می‌باشد و هرکدام به‌عنوان یک مسئله جداگانه مورد بررسی قرار گرفته‌اند، در صورتی که این کار در عمل منجر به طراحی بهینه و نقطه عملکرد بهینه سیستم نمی‌گردد. لذا بایستی در طراحی، کلیه موارد به‌طور هم‌زمان لحاظ گردند. یکی دیگر از موارد مهم در طراحی در نظر گرفتن عدم قطعیت در تولید PV و بار می‌باشد که در کارهای گذشته به آن چندان توجهی نشده است.

در این مقاله به طراحی یک سیستم هیبرید انرژی به‌عنوان ریزشبه‌کار در یک شبکه توزیع پرداخته شده است، منظور از طراحی تعیین اندازه، محل نصب و نحوه بهره‌برداری ریزشبه‌کار است. این ریزشبه‌کار نسبت به کارهای گذشته جامع‌تر می‌باشد و شامل ذخیره‌ساز (باتری)، منبع تولید پراکنده غیرقابل برنامه‌ریزی (پنل خورشیدی)، منبع تولید پراکنده قابل برنامه‌ریزی (دیزل)، شبکه پشتیبان (شبکه بالادست) است. در این مقاله بر آن هستیم که به نحوی کلیه هزینه‌های بهره‌برداری، نگهداری و سرمایه‌گذاری در آن در نظر گرفته شود و نکاتی که در که سایر کارهای گذشته چشم‌پوشی شده مورد بررسی قرار گیرد. همچنین، برای رسیدن به جواب بهینه‌تر از الگوریتم بهینه‌سازی LAPO در یک کاربرد جدید کمک گرفته شده تا محل نصب و عملکرد آن بهینه گردد. یکی دیگر از مواردی که در سایر مقالات اصلاً مورد بررسی قرار نگرفته است عدم قطعیت در تولید پنل‌های خورشیدی است که می‌تواند به‌طور کلی منجر به تغییر جواب بهینه گردد و در انتهای این مقاله مورد بررسی قرار می‌گیرد. برای جبران میزان عدم قطعیت خورشیدی فرض شده که ریزشبه‌کار به شبکه بالادست متصل می‌باشد و هزینه انرژی مبادله شده با آن شبکه در تابع هدف در نظر گرفته شده است. روش مورد نظر در این مقاله بر روی شبکه استاندارد ۳۳ باس پیاده‌سازی شده است.

در قسمت دوم این مقاله به بیان مسئله، تابع هدف و قیود پرداخته شده است. در ادامه و در قسمت سوم به الگوریتم بهینه‌سازی مورد استفاده اشاره شده و در قسمت چهارم نتایج حاصل از این روش آورده شده است. در قسمت آخر نیز نتیجه‌گیری صورت گرفته است.

۲- بیان مسئله

همان‌طور که عنوان شد، مسئله مورد نظر در این مقاله طراحی یک ریزشبه‌کار است تا با استفاده از آن بتوان یک شبکه توزیع را تأمین بار نمود. این ریزشبه‌کار شامل پنل خورشیدی، سیستم ذخیره‌ساز انرژی و همچنین یک دیزل ژنراتور به‌عنوان منبع پشتیبان می‌باشد. هدف اولیه در این مسئله تعیین سائز پنل خورشیدی، دیزل ژنراتور و تعداد

در سالیان اخیر افزایش تقاضای انرژی برق، افزایش قیمت نفت و گاز طبیعی، رشد سریع خصوصی‌سازی و ظهور فناوری‌های جدید باعث ایجاد تحولاتی در صنعت برق و توجه جدی به استفاده از فن‌آوری تولید پراکنده (DG^۱) شده است [۱]. واحدهای تولید پراکنده و یا به‌عبارت دیگر مولدهای مقیاس کوچک می‌توانند توانی در بازه یک کیلووات تا ده مگاوات را در محل مصرف و یا در نزدیکی آن تحویل دهند. پیک سایی، افزایش قابلیت اطمینان، کاهش تلفات به دلیل نزدیکی به محل مصرف، کاهش افت ولتاژ و ... از جمله مزایای DG ها می‌باشند. علاوه بر این، بهره‌گیری از انرژی‌های نو از قبیل انرژی خورشیدی، باد، پیل سوختی و ... در قالب واحدهای تولید پراکنده، علاقه در به‌کارگیری DG ها را دوچندان کرده است [۲].

افزایش نفوذ DG ها و قرار گرفتن چند DG در مجاورت الکتریکی یکدیگر، مفهوم ریزشبه‌کار را پدید آورده است. ریزشبه‌کارها به‌طور معمول، سیستم‌های قدرت در سطح ولتاژ توزیع هستند که دارای تعدادی DG و بارهای الکتریکی یا حرارتی به همراه سیستم‌های ذخیره‌ساز انرژی (ESS) هستند [۳]–[۵].

در سیستم‌های قدرت سنتی، تولید توان به‌صورت متمرکز و سیلان توان به‌صورت یک‌طرفه از سیستم‌های انتقال به سمت سیستم توزیع و بارها بوده است. اما در سال‌های کنونی علاقه و جذابیت زیادی به اتصال منابع تولید برق در سطح توزیع ایجاد شده که مفهوم سیستم‌های تولید پراکنده را معرفی می‌کنند [۶]–[۸]. بر اساس قوانین و مقررات کشورهای مختلف، تعاریف مختلفی بر اساس مکان تولید پراکنده، هدف به‌کارگیری آن‌ها و نیز ظرفیت توان تولیدی آن‌ها ارائه شده است. اما یک تعریف کلی و مشترک که در اغلب این تعاریف وجود دارد، این است که تولید پراکنده به واحدهای تولید توان الکتریکی با ظرفیت تولید محدود، در داخل شبکه‌های توزیع و یا در طرف مصرف‌کنندگان اطلاق می‌شود [۹]–[۱۲].

تعیین اندازه و عملکرد بهینه منابع تولید پراکنده و مکان نصب آن‌ها به‌نحوی که کلیه قیود شبکه برآورده شود و همچنین هزینه زیادی به شبکه وارد نشود، در سالیان اخیر همواره مورد توجه محققان بود است و برای این کار در طی سالیان اخیر روش‌های مختلفی برای حل این‌گونه مسائل ارائه گردیده است. در مقاله [۱۳]، به طراحی یک ریزشبه‌کار دارای PV^۳ در دو مد متصل و منفصل از شبکه پرداخته شده است. در این مقاله هدف از طراحی کمینه کردن تلفات شبکه توزیع می‌باشد. در مرجع [۱۴] به طراحی سیستم منفصل از شبکه دارای PV، توربین بادی و دیزل پرداخته شده است به‌نحوی که هزینه کمینه شود. در مقاله [۱۵] به طراحی یک هیبرید انرژی پرداخته شده است.

^۱ Distributed Generation
^۲ Energy Storage System
^۳ Photo Voltaic

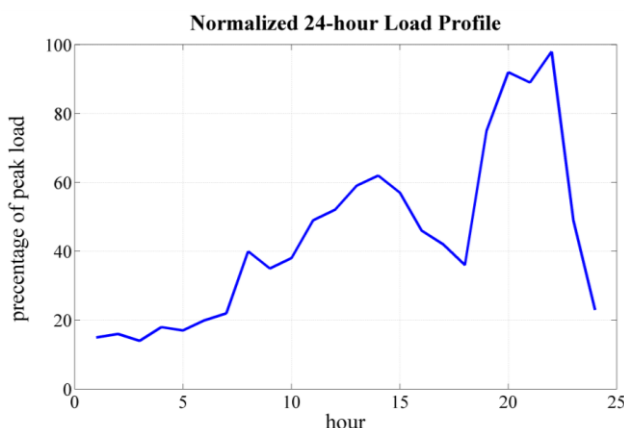
مناسب باتری با توجه به تابع هدف می‌باشد. برای این منظور ابتدا باید بار ریزشبه مشخص باشد.

۱-۲- بار ریزشبه

ریزشبه موردنظر یک شبکه توزیع محلی است که بار آن در طول روز متفاوت خواهد بود. نظر به اینکه هم بار مسکونی و هم بار تجاری در اوایل شب با مصرف بالا مواجه خواهند شد، لذا پیک بار در ساعاتی ابتدایی شب در نظر گرفته می‌شود. همچنین با توجه به اینکه بار تجاری در ساعات میانی روز نیز با افزایش مصرف روبرو خواهد شد، در این ساعات نیز پیک بار وجود خواهد داشت. بنابراین به منظور در نظرگیری بار ریزشبه موردنظر، یک پروفیل بار ۲۴ ساعته با دو پیک بار به صورت شکل زیر در نظر گرفته می‌شود. شکل ۱ بار نرمالایز شده ریزشبه را نشان می‌دهد. البته باید در نظر داشت که بار شبکه توزیع نیز با چنین رویکردی در نظر گرفته می‌شود [۱۷]-[۱۹].

۲-۲- استراتژی تأمین بار ریزشبه

اولین هدف از تعیین سائز منابع موجود در ریزشبه تأمین بار این شبکه کوچک می‌باشد. اولویت اصلی در تأمین بار ریزشبه استفاده از پنل های خورشیدی است. با این حال در شرایطی که پنل های خورشیدی قادر به تولید توان نباشند سیستم ذخیره‌ساز انرژی و دیزل ژنراتور وظیفه تأمین بار شبکه را بر عهده‌دارند. بنابراین می‌توان استراتژی بهینه را به صورت زیر در نظر گرفت [۲۰].



شکل ۱- بار نرمالایز شده شبکه ریزشبه.

۱-۲-۲- در حضور توان تولیدی پنل خورشیدی

الف- اگر توان تولیدی پنل خورشیدی بیش از بار موجود در شبکه باشد و همچنین باتری‌ها در شارژ کامل نباشند، توان تولیدی پنل خورشیدی پس از تأمین بار در باتری‌ها ذخیره می‌شود.

ب- اگر توان تولیدی پنل خورشیدی بیش از بار شبکه بوده و باتری‌ها نیز شارژ باشند، اضافه تولید پنل های خورشیدی به شبکه توزیع فروخته می‌شود.

ج- اگر توان تولیدی پنل خورشیدی کمتر از بار شبکه باشد، قسمتی از بار توسط پنل ها تأمین شده و بقیه بار از طریق سیستم ذخیره‌ساز تأمین می‌شود.

د- اگر توان تولیدی پنل خورشیدی کمتر از بار شبکه بوده و باتری نیز نتواند کل بار را تأمین کند، قسمتی از بار توسط پنل خورشیدی و باتری تأمین شده و بقیه توسط دیزل ژنراتور تأمین می‌گردد.

ه- اگر توان تولیدی پنل خورشیدی کمتر از بار بوده و باتری نیز نتواند بار را تأمین کند، و بار باقی‌مانده بیش از ظرفیت حداکثر دیزل ژنراتور باشد، و به دلیل قیود فنی (ولتاژ و قید حرارتی خطوط) شبکه بالادست نتواند بار را تأمین کند بار باقی‌مانده قطع خواهد شد.

۲-۲-۲- در غیاب توان تولیدی توسط پنل

خورشیدی

الف- اگر باتری بتواند بار موجود در ریزشبه را تأمین نماید، این بار توسط باتری‌ها تأمین می‌شود.

ب- اگر باتری‌ها نتوانند بار شبکه را تأمین کنند، بار باقی‌مانده توسط دیزل ژنراتور تأمین می‌گردد.

ج- اگر بار باقی‌مانده بیش از ظرفیت ماکزیمم دیزل ژنراتور باشد، و به دلیل قیود فنی (ولتاژ و قید حرارتی خطوط) شبکه بالادست نتواند بار را تأمین کند بار قطع می‌شود.

باید در نظر داشت که بار حذف شده در شبکه نباید بیش از ۲۵٪ کل بار شبکه باشد. همچنین ظرفیت دیزل ژنراتور نباید به اندازه‌ای باشد که در بعضی ساعات توان تحویلی آن به بار ریزشبه کمتر از ۲۰٪ ظرفیت حداکثر آن باشد.

۲-۳- تابع هدف

پس از آنکه ظرفیت‌های پیشنهادی برای منابع توانست بار شبکه ریزشبه را به خوبی تأمین نماید، اضافه تولید به شبکه توزیع فروخته می‌شود. اما اینکه از طریق کدام باس توان اضافه وارد شبکه توزیع گردد، می‌تواند عملکرد شبکه توزیع را تحت تأثیر قرار دهد. بنابراین محل قرارگیری ریزشبه نیز می‌تواند بسیار حائز اهمیت باشد. از این رو مکان‌یابی ریزشبه نیز مدنظر قرار می‌گیرد. تابع هدف موردنظر برای مکان‌یابی ریزشبه کاهش هزینه در شبکه توزیع در نظر گرفته می‌شود.

$$\min f = C_{PV} + C_{loss} + C_{bat} + C_{dg} - B_{ex} \quad (1)$$

که در فرمول بالا C_{PV} , C_{loss} , C_{bat} , C_{dg} به ترتیب هزینه‌های سیستم خورشیدی، تلفات، باتری و دیزل ژنراتور است همچنین B_{ex}

۲-۳-۶- سود ناشی از فروش توان اضافی

اگر توان تولیدی توسط پنل خورشیدی بیش از ظرفیت شارژ باتری و بار شبکه باشد، می‌توان آن را به شبکه توزیع فروخت و لذا بابت آن سود به دست می‌آید. این سود را می‌توان به صورت زیر نوشت:

$$B_{ex} = \sum_{d=1}^{365} \sum_{t=1}^{24} P_{ex}^{t,d} \times \rho^{t,d} \quad (6)$$

که در آن B_{ex} سود ناشی از فروش توان اضافی است و $P_{ex}^{t,d}$ میزان توان اضافی در روز d و ساعت t می‌باشد.

۲-۳-۷- قیود

حل مسئله بهینه‌سازی با یک سری قیود فنی همراه است که در روند اجرای برنامه بهینه‌سازی باید رعایت شوند. این قیود را می‌توان به صورت زیر عنوان نمود.
توازن توان در ریزشبهه در طول روز:

$$\sum_{t=1}^{24} P_{PV}^t + P_{dg}^t + P_{bat}^t - P_{D_mic}^t = 0 \quad (7)$$

حداکثر بار قطع شده در ریزشبهه:

$$\sum_{t=1}^{24} P_{sh}^t \leq 0.25 \times \sum_{t=1}^{24} P_{D_mic}^t \quad (8)$$

توازن تولید در شبکه توزیع:

$$\sum_{t=1}^{24} P_g^t + P_{ex}^t + P_{stack}^t - P_{loss}^t - P_{D_dis}^t = 0 \quad (9)$$

رعایت قیود پنل خورشیدی و دیزل ژنراتور:

$$0 < P_{PV} < P_{PV}^{max} \quad (10)$$

$$0 < P_{dg} < P_{dg}^{max} \quad (11)$$

رعایت شرایط شارژ و دشارژ باتری:

$$SOC_{min} < SOC_t < SOC_{max} \quad (12)$$

رعایت ولتاژ باس‌ها:

$$V_{min} < V < V_{max} \quad (13)$$

رعایت توان عبوری از خطوط:

$$F_b < Limit_b \quad (14)$$

در این روابط $P_{D_mic}^t$ ، P_{bat}^t ، P_{dg}^t ، P_{PV}^t به ترتیب توان تولیدی پنل خورشیدی، دیزل ژنراتور، باتری و همچنین توان مصرفی ریزشبهه در ساعت t می‌باشد. P_{sh}^t توان قطع شده در ریزشبهه می‌باشد. P_{ex}^t ، P_g^t ، P_{stack}^t ، $P_{D_dis}^t$ ، P_{loss}^t ، $P_{D_mic}^t$ به ترتیب توان تولیدی ژنراتورهای موجود در شبکه توزیع، توان فروخته شده از ریزشبهه، توان تأمین شده از پست اصلی شبکه توزیع، توان تلفاتی در شبکه توزیع و توان مصرفی شبکه توزیع در زمان t می‌باشد. P_{PV}^{max} ، P_{dg}^{max} ، P_{PV}^m ، SOC_i ، SOC_{min} ، SOC_{max} ، V_{min} ، V_{max} ، V ، $Limit_b$ ، F_b حداکثر توان تولیدی پنل خورشیدی، حداکثر توان تولیدی دیزل ژنراتور، شرایط شارژ باتری، حداکثر و حداقل شرایط شارژ باتری، ولتاژ باس، مینیمم و ماکزیمم ولتاژ باس، توان عبوری از خط b و حد حرارتی خط b می‌باشد.

نشان دهنده میزان سود ناشی از فروش اضافه توان ریزشبهه به شبکه بالادست است.

۲-۳-۱- تلفات و توان شبکه بالادست

برای این منظور میزان تلفات به صورت توانی که باید از شبکه بالادست خریداری شود در نظر گرفته شده و لذا به صورت هزینه وارد تابع هدف کل می‌شود. این تابع هدف می‌تواند به صورت زیر در نظر گرفته شود.

$$C_{loss} = \sum_{d=1}^{365} \sum_{t=1}^{24} (P_{loss}^{t,d} + P_b^{t,d}) \times \rho^{t,d} \quad (2)$$

که در آن $\rho^{t,d}$ قیمت برق در ساعت t و روز d بوده و $P_{loss}^{t,d}$ میزان تلفات در روز d ساعت t و $P_b^{t,d}$ توان خریداری شده از شبکه بالادست در روز d ساعت t می‌باشد. باید توجه داشت که در مطالعات موردنظر قیمت برق در ساعات پرباری، میان باری، و کم باری با یکدیگر متفاوت می‌باشد.

۲-۳-۲- هزینه پنل خورشیدی

نصب و استفاده از پنل خورشیدی دارای هزینه نصب، هزینه تعمیر و نگهداری و هزینه تعویض است. بنابراین هزینه‌های مرتبط با پنل خورشیدی به صورت زیر در نظر گرفته می‌شود [۲۱].

$$C_{PV} = C_{PV_inv} + C_{PV_O\&M} + C_{PV_rep} \quad (3)$$

۲-۳-۳- هزینه باتری

سیستم ذخیره‌ساز انرژی نیز دارای هزینه‌هایی مشابه پنل خورشیدی است و می‌توان آن را به صورت زیر بیان کرد [۲۲].

$$C_{bat} = C_{bat_inv} + C_{bat_O\&M} + C_{bat_rep} \quad (4)$$

۲-۳-۴- هزینه دیزل ژنراتور

هزینه این نوع تجهیزات نیز شامل سرمایه‌گذاری، تعمیر و نگهداری و تعویض می‌باشد [۲۳].

$$C_{dg} = C_{dg_inv} + C_{dg_O\&M} + C_{dg_rep} \quad (5)$$

در این روابط از زیرنویس‌های PV ، bat ، dg به ترتیب برای پنل خورشیدی، باتری و دیزل ژنراتور استفاده شده است. همچنین برای هزینه سرمایه‌گذاری، تعمیر و نگهداری و تعویض از زیرنویس‌های inv ، $O\&M$ و rep بهره برده شده است.

۲-۳-۵- هزینه بار قطع شده

چنانچه نیاز به قطع بار مشترکین باشد، این قطع بار هزینه به همراه دارد که باید در تابع هدف در نظر گرفته شود.

۳- روش بهینه‌سازی LAPO^۴

از بار کل کانال صاعقه پایین‌رونده می‌باشد. توزیع بار در کانال صاعقه پایین‌رونده به این صورت است که در نزدیکی ابر بار کمتر و در نوک لیدر بار بیشتری وجود خواهد داشت. به همین دلیل نوک لیدر براق‌تر است. این توزیع افزایشی بار در طول کانال می‌توان به صورت یکپارچه خطی و یا نمایی در نظر گرفته شود. در اینجا بار کانال به صورت نمایی طبق دو رابطه زیر در نظر گرفته می‌شود.

$$S = 1 - \left(\frac{t}{t_{\max}} \right) \times \exp \left(- \frac{t}{t_{\max}} \right) \quad (17)$$

$$Cc = S \times (X_{\min}(i, j) - X_{\max}(i, j)) \quad (18)$$

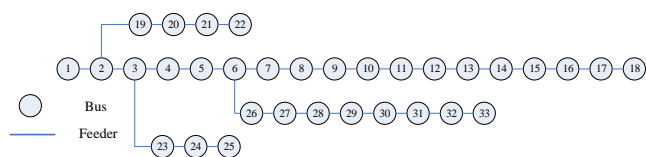
که در آن Cc بار کانال، X_{\min} بار کانال در نوک لیدر و X_{\max} بار کانال در ابتدای کانال می‌باشد. لیدرهای بالارونده طبق رابطه زیر به سمت بالا حرکت می‌کنند.

$$X_{\text{new}}(i, j) = X(i, j) + \text{rand} \times Cc \quad (19)$$

۵- همگرایی: زمانی که یک لیدر بالارونده به یک لیدر پایین‌رونده برسد نقطه برخورد صاعقه مشخص می‌شود. به عبارت دیگر زمانی که نقطه بهینه تعیین شود الگوریتم بهینه‌سازی پایان می‌یابد. این مراحل به صورت تکرارشونده اجرا می‌شود، تا نقطه بهینه توسط الگوریتم پیشنهادی یافت شود.

۴- شبیه‌سازی و نتایج

در این قسمت مکان‌یابی موردنظر برای ریزشکه بر روی شبکه مورد مطالعه انجام می‌گیرد. شبکه موردنظر شبکه شعاعی ۳۳ باس بوده که دیاگرام تک‌خطی آن‌ها در شکل‌های ۲ نشان داده شده است. اطلاعات مربوط به خط و باس این شبکه را می‌توان به ترتیب از دو مرجع [۹] و [۲۰] استخراج نمود. بار نرمالایز شده برای ریزشکه در شکل ۳ نشان داده شده است. میزان بار این ریزشکه در شرایط پیک بار ۲۵۰ کیلووات در نظر گرفته شده است. بار پیک شبکه نیز همان میان باری است که از مراجع [۹] و [۲۰] به دست می‌آید. همچنین پروفیل ۲۴ ساعته تابش خورشید به صورت نرمال شده در شکل ۴ نشان داده شده است.



شکل ۲- دیاگرام تک خطی شبکه ۳۳ باس.

این الگوریتم از پروسه برخورد صاعقه به زمین یا هر جسم زمین شده الهام گرفته است. برای شبیه‌سازی این روش تعداد نقاط تست در روی ابر و روی زمین یا اجسام زمین شده به عنوان جمعیت اولیه فرض می‌شود. با افزایش میدان در نقاط موجود روی ابر کانال‌های استریمر شروع به شکست هوا و حرکت به سمت زمین می‌کنند. با نزدیک شدن این لیدرها به سمت زمین باری مخالف بار صاعقه در نقاط تست افزایش یافته و لیدرهای رو به بالا ایجاد می‌شوند. و نقطه برخورد نقطه‌ای خواهد بود که لیدر پایین‌رونده و بالارونده به هم برسند. الگوریتم شامل چند قسمت خواهد بود که در زیر توضیح داده می‌شود [۲۴] و [۲۵].

۱- مقداردهی اولیه: ابتدا نقاط تست در سطح ابر و روی زمین به عنوان جمعیت اولیه تعریف می‌شوند.

۲- نقطه پرش بعدی: هر کانال صاعقه در مقابل خود تعداد نقطه محتمل دارد که می‌تواند به سمت یکی از آن‌ها حرکت کند. انتخاب نقطه پرش بعدی صاعقه وابسته به شدت میدان خط واصل بین نقطه حاضر و نقاط محتمل می‌باشد. البته پرش بعدی لزوماً به سمت نقطه با حداکثر میدان نخواهد بود و قسمتی از پروسه انتخاب نقطه بعدی به صورت تصادفی صورت می‌پذیرد. برای شبیه‌سازی این قسمت، برای هر نقطه یک نقطه تصادفی در فضای جست‌وجو انتخاب می‌شود. اگر میدان این نقطه (شایستگی نقطه یا همان اندازه تابع هدف در نقطه موردنظر)، از میدان پس‌زمینه (که در اینجا همان میدان میانگین) بیشتر باشد صاعقه به سمت این نقطه حرکت می‌کند، در غیر این صورت مسیر صاعقه در جهتی دیگر خواهد بود. (در خلاف این نقطه البته باید در نظر داشت که خلاف جهت به مفهوم حرکت به سمت بالا نخواهد بود بلکه حرکتی زاویه‌دار نسبت به این نقطه خواهد بود). بنابراین برای حرکت بعدی یک نقطه می‌توان به صورت زیر عمل کرد.

$$P = \text{sign}(F_{av} - F(r)) \quad (15)$$

$$X_{\text{new}}(i, j) = X(i, j) - \quad (16)$$

$$P \times \text{rand} \times (X_{av}(1, j) - X(r, j))$$

۳- حرکت روبه جلو و حذف شاخه‌ها: هنگامی که یک کانال صاعقه جدید شکل می‌گیرد، این کانال در صورتی که به مسیر رو به پایین خود ادامه می‌دهد که بار در نوک این لیدر بیشتر از یک مقدار بحرانی مثلاً ۱ میکروکولن باشد. در الگوریتم پیشنهادی چنانچه نقطه جدید دارای میدانی کمتر از میدان نقطه قبلی خود باشد، فرض می‌شود که این نقطه نخواهد توانست به سمت جلو حرکت کرده و لذا این نقطه یا این شاخه حذف خواهد شد.

۴- لیدر بالارونده: با حرکت کانال‌های صاعقه به سمت پایین لیدرهای بالارونده نیز به سمت بالا شروع به حرکت می‌کنند. سرعت حرکت این لیدر با توجه به بار جمع شده در آن نقطه و همچنین متأثر

^۴ Lightning Attachment Procedure Optimization

۲۸۰۰	۴۹	بین ۵۰ تا ۷۰	میان باری
۳۰۵۰	۷۰	بزرگتر از ۷۰	پرباری

۴-۱- شبکه ۳۳ باس

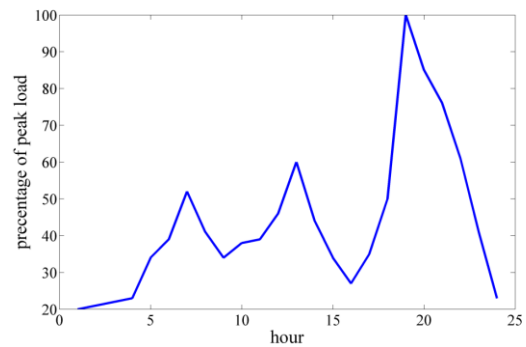
با توجه به اطلاعات اقتصادی داده شده برنامه بهینه سازی برای شبکه ۳۳ باس انجام گرفته است. نتایج بهینه در جدول ۳ آورده شده است. همچنین رفتار همگرایی دو روش مورد نظر در یافتن بهترین پاسخ در شکل ۵ رسم شده است. همان طور که مشخص است روش LAPO با در تعداد تکرارهای کمتری به بهترین پاسخ خود رسیده و همچنین به پاسخ بهتری نسبت به روش ABC^۵ ختم شده است.

رفتار ریزشکبه در ماه august در شکل ۶ رسم شده است. همان طور که مشاهده می شود در ساعات اولیه بامداد که خورشیدی وجود ندارد باتری بار ریزشکبه را تأمین می کند. همان طور که مشخص است توان باتری در این ساعات منفی است که نشان از دشارژ شدن آن دارد. باتری از ساعت ۸ به بعد شروع به شارژ شدن کرده و در ساعت ۱۱ به بیشینه شارژ خود می رسد. لذا توانی در آن ذخیره نشده تا دوباره در ساعت ۱۸ شروع به دشارژ شدن می کند.

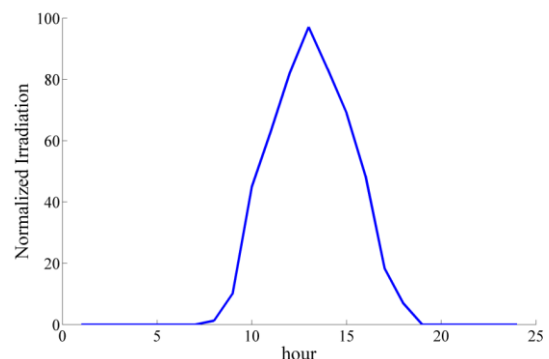
در ساعت ۱۹ دوباره شارژ شده و در ساعت ۲۰ با توجه به حجم بالای مصرف کاملاً دشارژ می شود. دیزل ژنراتور در ساعت ۸ صبح وارد مدار شده و در ساعت ۹ از مدار خارج می شود. این شرایط تا ساعت ۸ شب ادامه دارد و از آن به بعد تا ساعت ۲۴ به تأمین بار ادامه می دهد. نظر به میزان قابل توجه تولید خورشیدی حجم زیادی از این تولید به شبکه توزیع فروخته شده و سود ناشی از آن باعث بهبود تابع هدف می شود. همان طور که مشخص است، شبکه به طریقی طراحی شده است که هیچ باری در طول روز قطع نشده و تمام بار تأمین می گردد.

جدول ۳- نتایج حاصل از طراحی و تعیین سایز ریزشکبه در شبکه توزیع ۳۳ باس.

روش	محل نصب ریزشکبه	اندازه پنل خورشیدی	اندازه دیزل ژنراتور	تعداد باتری ها	کل هزینه
LAPO	۶	۴۰۰	۲۴۵	۲۵	۴۷۵۸۱
ABC	۲۶	۳۹۸	۲۴۴.۸۸	۲۵	۴۷۷۸۳



شکل ۳- بار نرمالایز شده شبکه توزیع.



شکل ۴- تابش نرمالایز شده روزانه [۲۰].

میزان حداکثر توان تولیدی توسط پنل خورشیدی برای هر ماه در جدول ۱ نشان داده شده است. مکان یابی ریزشکبه در بدترین شرایط انجام گرفته و لذا برای کمترین میزان تابش یعنی ماه August انجام می گیرد.

جدول ۱- میزان متوسط تابش روزانه خورشید به تفکیک هر ماه [۲۰].

Dec	Nov	Oct	Sep
۵.۵۷	۵.۸۴	۵.۶۳	۵.۱۵
Aug	July	June	May
۴.۷۸	۴.۸۱	۵.۲۶	۵.۶۵
April	March	Feb	Jan
۶.۰۱	۶	۵.۷۳	۵.۴۵

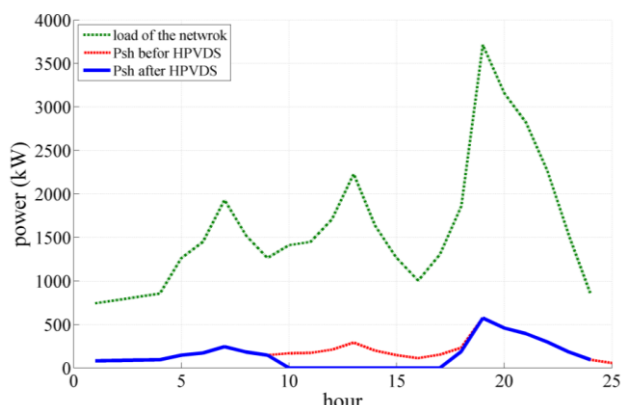
اطلاعات اقتصادی برای منابع مختلف به صورت هزینه سرمایه گذاری پنل خورشیدی ۷.۴۴ یورو به ازای هر کیلووات بوده و هزینه تعمیر و نگهداری ۴۰ یورو در هر سال می باشد. هزینه هر باتری ۰.۲۸۳ یورو به ازای هر آمپرساعت بوده و هزینه تعمیر و نگهداری ۵۰ یورو به ازای هر سال می باشد. هزینه دیزل ژنراتور ۰.۵۵ یورو به ازای هر وات و ۰.۲ یورو به ازای هر ساعت کارکرد این وسیله می باشد [۲۰].

ریزشکبه مورد نظر یک شبکه توزیع فرض شده است و لذا بار آن ترکیبی از بار تجاری و خانگی می باشد قیمت برق بر اساس نوع بار و سطح بار در جدول ۲ توضیح داده شده است.

جدول ۲- قیمت برق برای بارهای مختلف در سطوح مختلف [۲۰].

سطح بار	درصد از بار پیک	قیمت بار خانگی (€/W)	قیمت بار تجاری (€/W)
کم باری	کوچکتر از ۵۰	۳۵	۲۰۰

Artificial Bee Colony °

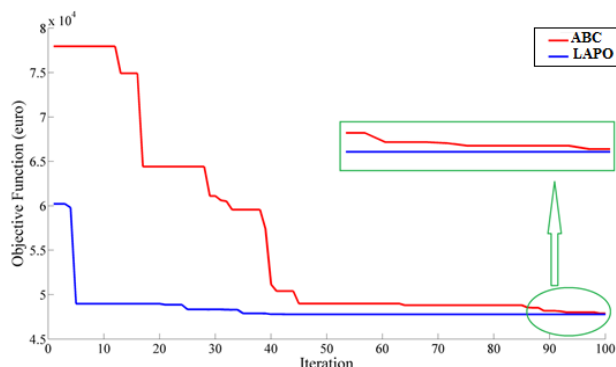
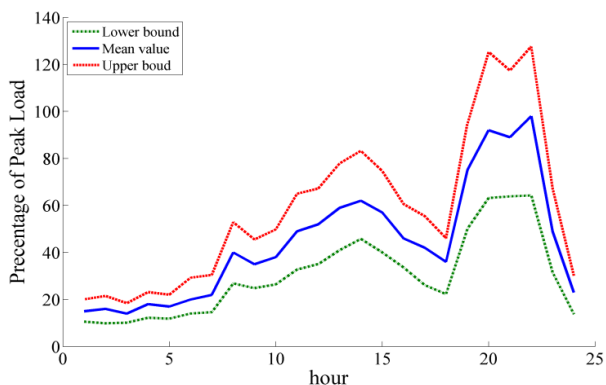


شکل ۸- بار قطع شده در شبکه توزیع در حضور و عدم حضور ریزشبه

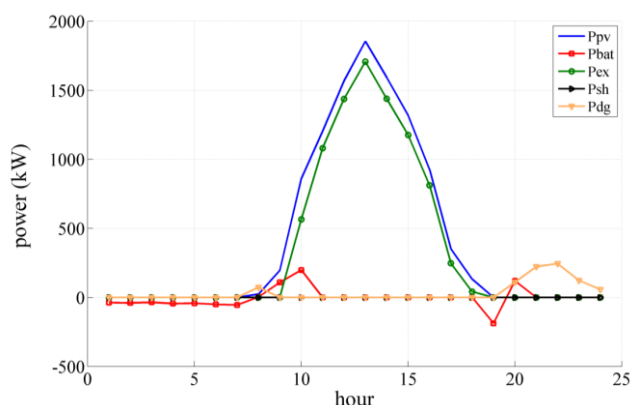
۴-۲- در نظرگیری عدم قطعیت

مقدار بار شبکه و همچنین میزان تابش روزانه پارامترهای مشخص و معلوم نیستند و معمولاً با عدم قطعیت همراه می‌باشد. به این دلیل این پارامترها پیش‌بینی شده و بر اساس پیش‌بینی برنامه‌ریزی‌ها انجام می‌شود. مشخص است که مقدار پیش‌بینی شده ممکن است با خطا همراه بوده و لذا این خطا نیز باید در برنامه‌ریزی‌ها در نظر گرفته شود. معمولاً میزان بار شبکه و تابش خورشید بر اساس توزیع نرمال در نظر گرفته می‌شود. به عبارت دیگر مقدار میانگین و انحراف از معیار این پارامترها، پیش‌بینی شده و لذا برنامه‌ریزی شبکه بر اساس مقادیر در نظر گرفته شده برای این پارامترهای احتمالی انجام می‌گیرد. [۲۶] و [۱۴].

معروف‌ترین و دقیق‌ترین روش حل مسائل به صورت احتمالی استفاده از الگوریتم مونت کارلو می‌باشد. در این روش با تعریف تعداد زیادی نمونه احتمالی در محدوده پیش‌بینی شده، برنامه‌ریزی برای تمام این مقادیر انجام گرفته و توابع چگالی احتمال پارامترهای مورد نیاز استخراج می‌شود [۲۷] و [۲۸]. برای این منظور در این مقاله میزان بار شبکه توزیع، ریزشبه و همچنین میزان تابش نور خورشید در روز به صورت کران بالا و پایین در نظر گرفته شده‌اند و فرض می‌شود که میزان تابش یا بار در هر ساعت بین دو کران خواهد بود. این کران‌ها در شکل‌های ۹، ۱۰ و ۱۱ نشان داده شده است.

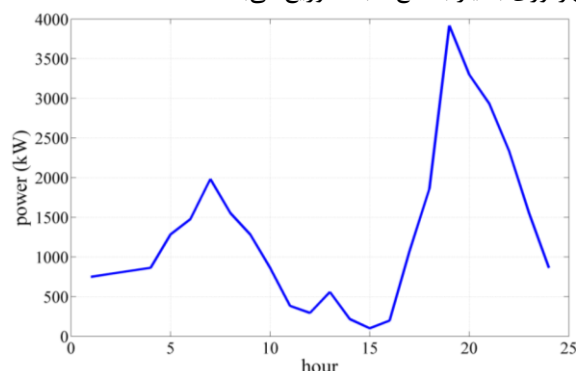


شکل ۵- مقایسه رفتار همگرایی روش‌های مختلف در یافتن بهترین پاسخ برای شبکه ۳۳ باس.



شکل ۶- رفتار ریزشبه در ماه August.

توان تولیدی خریداری شده از شبکه بالادست در شکل ۷ نشان داده شده است. همان‌طور که مشخص است در ساعاتی از روز که انرژی خورشیدی وجود دارد، توان درخواستی از شبکه بالادست به شدت کاهش یافته است. همچنین باید عنوان کرد که تلفات شبکه و هزینه ناشی از آن ۱۰۶۱ کیلووات و ۵۵.۸۶ یورو در روز بوده است که بعد از نصب ریزشبه در شبکه این مقادیر به ترتیب به ۹۵۶.۷۹ کیلووات و ۵۱.۷۸ یورو در روز می‌رسد. در شکل ۸ توان قطع شده در شبکه توزیع در ساعات مختلف روز رسم شده است. همان‌طور که مشخص است در ساعاتی که انرژی خورشیدی وجود دارد و می‌تواند توان را به شبکه توزیع تزریق کند، مقدار بار قطع شده به صفر رسیده که از لحاظ هزینه بهره‌وری بسیار به نفع شبکه توزیع می‌باشد.



شکل ۷- توان خریداری شده از شبکه بالادست

جدول ۴ نتایج حاصل از طراحی بهینه شبکه ریزشبهه با در نظرگیری عدم قطعیت را نشان می‌دهد.

جدول ۴- نتایج حاصل از طراحی و تعیین سایز ریزشبهه در شبکه توزیع ۳۳ باس با در نظرگیری عدم قطعیت بار و تابش خورشید با حداکثر هزینه سناریوهای تصادفی به‌عنوان تابع هدف.

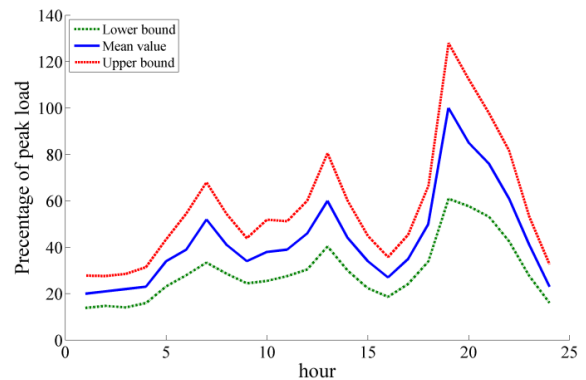
محل نصب ریزشبهه	اندازه پیل خورشیدی (MW)	اندازه دیزل ژنراتور (MW)	تعداد باتری‌ها	کل هزینه
۲	۴۰۰	۲۱۸	۴۳	۷۱۰۶۶

همان‌طور که نتایج نشان می‌دهد، هزینه تولید توان در این حالت بسیار افزایش‌یافته است. این افزایش به دلیل شرایطی است که ممکن است بار در آن حداکثر و تولید حداقل باشد. بنابراین این شرایط نیز باید در مسئله دیده شود. اما همان‌طور که مشاهده می‌شود، هزینه نسبت به حالتی که عدم قطعیت در نظر گرفته نمی‌شود افزایش نزدیک به ۵۰٪ داشته است. بنابراین باید در نظر داشت که در شرایط تصادفی ممکن است هزینه شبکه به‌شدت افزایش یابد و این اهمیت حل مسائل به‌صورت تصادفی را نشان می‌دهد.

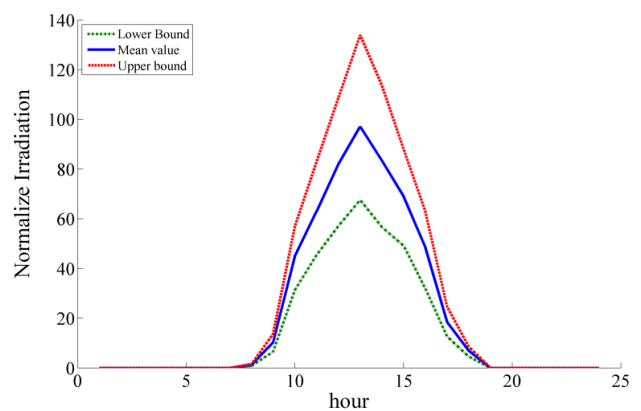
اما مسئله مهم این است که آیا نیاز است با در نظرگیری مسئله عدم قطعیت هزینه سیستم را به نزدیک ۵۰ درصد افزایش داد. به‌عبارت‌دیگر هزینه سیستم برای تأمین بار شبکه در شرایطی افزایش‌یافته است که میزان بار زیاد و تولید کم است. اما مسئله این است که رخ دادن چنین شرایطی چقدر محتمل است. به‌عبارت‌دیگر آیا منطقی است که برای پیش‌آمد شرایطی که تنها ۱۰٪ ممکن است رخ دهد، هزینه سیستم را ۵۰٪ افزایش داد.

در قسمت قبل برای هر پیشنهادی که از طرف برنامه بهینه‌سازی مطرح می‌شود، تمام سناریوهای ممکن برای شبکه در نظر گرفته شده و بیشترین هزینه‌ای که به سیستم وارد شود، به‌عنوان هزینه پاسخ پیشنهادی در نظر گرفته می‌شود. چنانچه پاسخ پیشنهادی حتی در یک سناریو نتواند قیود را رعایت کند، آن پاسخ از جانب برنامه مردود شناخته می‌شود. در این شرایط هزینه سیستم به‌شدت افزایش می‌یابد. برای رفع چنین مشکلی، در اینجا هیچ پاسخی مردود نشده و برای هر پاسخ هزینه سیستم در تمام سناریوها محاسبه می‌گردد. در نهایت میانگین هزینه‌های تمام سناریوها برای پاسخ موردنظر لحاظ می‌شود. بنابراین چنانچه پاسخ پیشنهادی توسط روش بهینه‌سازی در چند سناریو نتواند قیود را رعایت کند، پاسخ مردود نشده و همچنان موردبررسی قرار می‌گیرد. مشخص است برای سناریوهایی که تعداد آن‌ها کم است، چنانچه قیود رعایت نشوند، تأثیر زیادی بر روند حل نخواهند گذاشت. با در نظرگیری چنین شرایطی، نتایج بهینه به‌صورت جدول ۵ خواهد بود. در این شرایط افزایش هزینه سیستم برای در نظرگیری عدم قطعیت ۲۷٪ خواهد بود که نزدیک به ۲۰٪ کمتر نسبت به حالت قبل است. بنابراین می‌توان با در نظرگیری میانگین هزینه سیستم در تمام سناریوهای ممکن به‌عنوان تابع هدف، عدم قطعیت را

شکل ۹- کران بالا، کران پایین و میانگین بار ریزشبهه در مطالعه احتمالی.



شکل ۱۰- کران بالا، کران پایین و میانگین بار شبکه توزیع در مطالعه احتمالی.



شکل ۱۱- کران بالا، کران پایین و میانگین تابش روزانه خورشید در مطالعه احتمالی.

برای حل مسئله به‌صورت تصادفی از روش مونت‌کارلو استفاده شده است. برای این منظور برای هر کمیت ۱۰۰۰ داده تصادفی تولید شده است. روش حل مسئله تصادفی به‌صورت گام‌به‌گام به‌صورت زیر است:

- گام ۱- تولید ۱۰۰۰ داده تصادفی برای هر متغیر تصادفی.
- گام ۲- تولید تصادفی مجموعه جواب برای متغیرهای بهینه‌سازی.
- گام ۳- انتخاب یک مجموعه از متغیرهای بهینه‌سازی.
- گام ۴- تست شبکه برای ۱۰۰۰ داده تصادفی با استفاده از روش مونت‌کارلو و چک کردن قیود برای تمام ۱۰۰۰ حالت محتمل.
- گام ۵- محاسبه تابع هدف در صورت درست بودن قیود.
- گام ۶- چک کردن شرط همگرایی روش بهینه‌سازی، در صورت همگرایی برو به گام ۹.
- گام ۷- تغییر متغیرهای بهینه‌سازی بر اساس روش بهینه‌سازی.
- گام ۸- برو به گام ۳.
- گام ۹- پایان.

- [2] S. Kansal, V. Kumar, and B. Tyagi, "Optimal placement of different type of DG sources in distribution networks," *International Journal of Electrical Power & Energy Systems*, vol. 53, pp. 752–760, 2013.
- [3] Z. Song, H. Hofmann, J. Li, J. Hou, X. Han, and M. Ouyang, "Energy management strategies comparison for electric vehicles with hybrid energy storage system," *Applied Energy*, vol. 134, pp. 321–331, 2014.
- [4] A. Hajizadeh and E. Hajizadeh, "PSO-based planning of distribution systems with distributed generations," *International Journal of Electrical and Electronics Engineering*, vol. 2, no. 1, pp. 33–38, 2008.
- [5] 2003. IEEE Std. 1547, "IEEE standard for interconnecting distributed resources with electric power system," "No Title."
- [6] A. Rahiminejad, A. Aranizadeh, and B. Vahidi, "Simultaneous distributed generation and capacitor placement and sizing in radial distribution system considering reactive power market," *Journal of Renewable and Sustainable Energy*, vol. 6, no. 4, p. 43124, 2014.
- [7] P. Kayal and C. K. Chanda, "Placement of wind and solar based DGs in distribution system for power loss minimization and voltage stability improvement," *International Journal of Electrical Power & Energy Systems*, vol. 53, pp. 795–809, 2013.
- [8] A. Ameli, S. Bahrami, F. Khazaeli, and M.-R. Haghifam, "A multiobjective particle swarm optimization for sizing and placement of DGs from DG owner's and distribution company's viewpoints," *IEEE Transactions on Power Delivery*, vol. 29, no. 4, pp. 1831–1840, 2014.
- [9] A. Foroughi Nematollahi, A. Dadkhah, O. Asgari Gashteroodkhani, and B. Vahidi, "Optimal sizing and siting of DGs for loss reduction using an iterative-analytical method," *Journal of Renewable and Sustainable Energy*, vol. 8, no. 5, p. 55301, 2016.
- [10] A. Foroughi Nematollahi, A. Rahiminejad, B. Vahidi, H. Askarian, and A. Safaei, "A new evolutionary-analytical two-step optimization method for optimal wind turbine allocation considering maximum capacity," *Journal of Renewable and Sustainable Energy*, vol. 10, no. 4, p. 43312, 2018.
- [11] N. Khalesi, N. Rezaei, and M.-R. Haghifam, "DG allocation with application of dynamic programming for loss reduction and reliability improvement," *International Journal of Electrical Power & Energy Systems*, vol. 33, no. 2, pp. 288–295, 2011.
- [12] M. M. Aman, G. B. Jasmon, A. H. A. Bakar, and H. Mokhlis, "A new approach for optimum simultaneous multi-DG distributed generation Units placement and sizing based on maximization of system loadability using HPSO (hybrid particle swarm optimization) algorithm," *Energy*, vol. 66, pp. 202–215, 2014.

در نظر گرفت. همان‌طور که مشاهده می‌شود، در این شرایط هزینه سیستم نسبت به حالت قطعی ۲۶٪ افزایش داشته است.

جدول ۵- نتایج حاصل از طراحی و تعیین سایز ریزشبه در شبکه توزیع ۳۳ باس با در نظرگیری عدم قطعیت بار و تابش خورشید با میانگین هزینه سناریوهای تصادفی به‌عنوان تابع هدف.

محل نصب ریزشبه	اندازه پنل خورشیدی (MW)	اندازه دیزل ژنراتور (MW)	تعداد باتری‌ها	کل هزینه
۲	۴۰۰	۲۵۶	۳۸	۶۰۳۸۸

۵- نتیجه

در این مقاله طراحی یک ریزشبه متشکل از بار، پنل خورشیدی، سیستم ذخیره‌ساز انرژی باتری و سیستم پشتیبان دیزل ژنراتور انجام شد. هدف از طراحی حداقل سازی هزینه موردنیاز برای تأمین بار ریزشبه موردنظر می‌باشد. در این ریزشبه هیچ توانی نباید از شبکه توزیع دریافت شود. اما چنانچه در ریزشبه موردنظر اضافه توان موجود باشد، می‌توان آن را به شبکه فروخت. هزینه‌های در نظر گرفته‌شده برای پنل خورشیدی، باتری و دیزل ژنراتور شامل هزینه نصب و خریداری، هزینه تعمیر و نگهداری و هزینه تعویض می‌باشد. چنانچه سیستم طراحی‌شده در ساعاتی از روز نتواند بار ریزشبه را به‌درستی تأمین نماید قسمتی از بار ریزشبه حذف خواهد شد. پس از طراحی مناسب ریزشبه، توان اضافه موجود در این ریزشبه به شبکه تزریق می‌شود. به‌منظور بهره‌وری هرچه بهتر از این ریزشبه، محل نصب ریزشبه به شکلی در شبکه تعیین می‌شود، که تلفات شبکه به حداقل مقدار ممکن خود برسد. از این‌رو هم‌زمان با طراحی بهینه ریزشبه، مکان‌یابی بهینه ریزشبه در شبکه توزیع نیز انجام‌گرفته است. حل مسئله به‌صورت تصادفی نیز انجام‌شده است. برای این منظور میزان بار و همچنین تابش خورشید در دو کران بالا و پایین در نظر گرفته می‌شوند. برای حل مسئله از روش مونت‌کارلو با ۶۲۲۲ داده تصادفی استفاده‌شده است. نتایج نشان می‌دهد که در حالت در نظرگیری عدم قطعیت هزینه تولید توان در شبکه بشدت افزایش می‌یابد. مسئله بهینه‌سازی موردنظر با استفاده از روش LAPO حل‌شده و نتایج آن با روش ABC مقایسه شده است. مقایسه نتایج نشان می‌دهد که روش مورد استفاده در حل مسئله بسیار عملکرد بهتری چه از لحاظ سرعت همگرایی و چه از لحاظ دقت پاسخ به‌دست‌آمده داشته است.

مراجع

- [1] Z. Wang, B. Chen, J. Wang, J. Kim, and M. M. Begovic, "Robust optimization based optimal DG placement in microgrids," *IEEE Transactions on Smart Grid*, vol. 5, no. 5, pp. 2173–2182, 2014.

- [25] A. F. Nematollahi, A. Rahiminejad, and B. Vahidi, "A novel physical based meta-heuristic optimization method known as Lightning Attachment Procedure Optimization," *Applied Soft Computing*, 2017.
- [26] J. Wang, A. Botterud, R. Bessa, H. Keko, L. Carvalho, D. Issicaba, J. Sumaili, and V. Miranda, "Wind power forecasting uncertainty and unit commitment," *Applied Energy*, vol. 88, no. 11, pp. 4014–4023, 2011.
- [27] M. Hamzeh, B. Vahidi, and A. F. Nematollahi, "Optimizing Configuration of Cyber Network Considering Graph Theory Structure and Teaching-Learning-Based Optimization (GT-TLBO)," *IEEE Transactions on Industrial Informatics*, 2018.
- [28] H. Nafisi, S. M. M. Agah, H. A. Abyaneh, and M. Abedi, "Two-stage optimization method for energy loss minimization in microgrid based on smart power management scheme of PHEVs," *IEEE Transactions on Smart Grid*, vol. 7, no. 3, pp. 1268–1276, 2016.
- [13] V. Hengritawat, T. Tayjasanant, and N. Nimpitiwan, "Optimal sizing of photovoltaic distributed generators in a distribution system with consideration of solar radiation and harmonic distortion," *International Journal of Electrical Power & Energy Systems*, vol. 39, no. 1, pp. 36–47, 2012.
- [14] V. Carpentiero, R. Langella, and A. Testa, "Hybrid wind-diesel stand-alone system sizing accounting for component expected life and fuel price uncertainty," *Electric Power Systems Research*, vol. 88, pp. 69–77, 2012.
- [15] S. M. Hakimi and S. M. Moghaddas-Tafreshi, "Optimal sizing of a stand-alone hybrid power system via particle swarm optimization for Kahnouj area in south-east of Iran," *Renewable energy*, vol. 34, no. 7, pp. 1855–1862, 2009.
- [16] T. Ma, H. Yang, and L. Lu, "A feasibility study of a stand-alone hybrid solar-wind-battery system for a remote island," *Applied Energy*, vol. 121, pp. 149–158, 2014.
- [17] M. Sedghi, M. Aliakbar-Golkar, and M.-R. Haghifam, "Optimal reliable distribution network expansion planning using improved PSO algorithm," 2012.
- [18] P. Karimyan, G. B. Gharehpetian, M. Abedi, and A. Gavili, "Long term scheduling for optimal allocation and sizing of DG unit considering load variations and DG type," *International Journal of Electrical Power & Energy Systems*, vol. 54, pp. 277–287, 2014.
- [19] R. A. Walling, R. Saint, R. C. Dugan, J. Burke, and L. A. Kojovic, "Summary of distributed resources impact on power delivery systems," *IEEE Transactions on power delivery*, vol. 23, no. 3, pp. 1636–1644, 2008.
- [20] A. El-Zonkoly, "Optimal placement and schedule of multiple grid connected hybrid energy systems," *International Journal of Electrical Power & Energy Systems*, vol. 61, pp. 239–247, 2014.
- [21] D. B. Nelson, M. H. Nehrir, and C. Wang, "Unit sizing and cost analysis of stand-alone hybrid wind/PV/fuel cell power generation systems," *Renewable energy*, vol. 31, no. 10, pp. 1641–1656, 2006.
- [22] Y. Wang, B. Wang, C.-C. Chu, H. Pota, and R. Gadh, "Energy management for a commercial building microgrid with stationary and mobile battery storage," *Energy and Buildings*, vol. 116, pp. 141–150, 2016.
- [23] M. A. M. Ramli, H. Bouchekara, and A. S. Alghamdi, "Optimal sizing of PV/wind/diesel hybrid microgrid system using multi-objective self-adaptive differential evolution algorithm," *Renewable Energy*, vol. 121, pp. 400–411, 2018.
- [24] A. F. Nematollahi, A. Rahiminejad, and B. Vahidi, "A novel multi-objective optimization algorithm based on Lightning Attachment Procedure Optimization algorithm," *Applied Soft Computing*, vol. 75, pp. 404–427, 2019.